



GOBIERNO  
DE ESPAÑA

MINISTERIO  
DE AGRICULTURA Y PESCA,  
ALIMENTACIÓN Y MEDIO AMBIENTE



CONFEDERACIÓN  
HIDROGRÁFICA  
DEL EBRO

2016

---

## **ESTABLECIMIENTO DE UNA METODOLOGÍA PARA EL SEGUIMIENTO DEL POTENCIAL ECOLÓGICO VS. ESTADO TRÓFICO DE LOS EMBALSES DE LA CUENCA DEL EBRO**

### **INFORME FINAL DEL EMBALSE DE RIALB**

---



**ÁREA DE CALIDAD DE AGUAS  
CONFEDERACIÓN HIDROGRÁFICA DEL EBRO**



MINISTERIO  
DE AGRICULTURA Y PESCA,  
ALIMENTACIÓN Y MEDIO AMBIENTE

CONFEDERACIÓN  
HIDROGRAFICA  
DEL EBRO



## ESTABLECIMIENTO DE UNA METODOLOGÍA PARA EL SEGUIMIENTO DEL POTENCIAL ECOLÓGICO VS. ESTADO TRÓFICO DE LOS EMBALSES DE LA CUENCA DEL EBRO

### PROMOTOR:

CONFEDERACIÓN HIDROGRÁFICA DEL EBRO



### SERVICIO:

CONTROL DEL ESTADO ECOLÓGICO

### DIRECCIÓN DEL PROYECTO:

Vicente Sancho Tello Valls y María José Rodríguez Pérez

### EMPRESA CONSULTORA:

Instituto Cavanilles de Biodiversidad y Biología Evolutiva de la Universidad de Valencia Estudi General

### EQUIPO DE TRABAJO:

Área de Limnología, dirigida por Dr. Eduardo Vicente Pedrós, Catedrático de Ecología. Director del Estudio.

### PRESUPUESTO DE LA ADJUDICACIÓN:

89.000,00 €

### CONTENIDO:

INFORME INDIVIDUAL DEL EMBALSE DE RIALB

### AÑO DE EJECUCIÓN:

2016

### FECHA ENTREGA:

DICIEMBRE 2016



REFERENCIA IMÁGENES PORTADA:

Vista de la presa del embalse de Rialb desde el punto de toma de muestras.

CITA DEL DOCUMENTO: Confederación Hidrográfica del Ebro (2016). Establecimiento de una metodología para el seguimiento del potencial ecológico vs. estado trófico de los embalses de la cuenca del Ebro. 212 págs. más anejos. Disponible en PDF en la web: <http://www.chebro.es>

El presente informe pertenece al Dominio Público en cuanto a los Derechos Patrimoniales recogidos por el Convenio de Berna. Sin embargo, se reconocen los Derechos de los Autores y de la Confederación Hidrográfica del Ebro a preservar la integridad del mismo, las alteraciones o la realización de derivados sin la preceptiva autorización administrativa con fines comerciales, o la cita de la fuente original en cuanto a la infracción por plagio o colusión. A los efectos prevenidos, las autorizaciones para uso no científico del contenido deberán solicitarse a la Confederación Hidrográfica del Ebro.



## ÍNDICE

	Página
<b>1. INTRODUCCIÓN.....</b>	<b>7</b>
<b>2. DESCRIPCIÓN GENERAL DEL EMBALSE Y DE LA CUENCA VERTIENTE.....</b>	<b>7</b>
2.1. <i>Ámbito geológico y geográfico .....</i>	7
2.2. <i>Características morfométricas e hidrológicas .....</i>	8
2.3. <i>Usos del agua .....</i>	9
2.4. <i>Registro de zonas protegidas.....</i>	9
<b>3. TRABAJOS REALIZADOS .....</b>	<b>10</b>
<b>4. DIAGNÓSTICO DE LA SITUACIÓN ACTUAL.....</b>	<b>11</b>
4.1. <i>Características fisicoquímicas de las aguas .....</i>	11
4.2. <i>Hidroquímica del embalse.....</i>	14
4.3. <i>Fitoplancton y concentración de clorofila .....</i>	15
4.4. <i>Zooplancton.....</i>	19
<b>5. DIAGNÓSTICO DEL GRADO TRÓFICO .....</b>	<b>20</b>
<b>6. DIAGNÓSTICO DEL POTENCIAL ECOLÓGICO .....</b>	<b>22</b>

### ANEXO I. REPORTAJE FOTOGRÁFICO



## ÍNDICE DE FIGURAS Y TABLAS

### ÍNDICE DE FIGURAS CORRESPONDIENTES A GRÁFICOS Y FOTOS

<b>Figura 1.</b> Volumen embalsado y salida durante el año hidrológico 2015-2016 .....	9
<b>Figura 2.</b> Localización de la estación de muestreo en el embalse.....	10
<b>Figura 3.</b> Perfil vertical de la temperatura y pH .....	11
<b>Figura 4.</b> Perfil vertical de la extinción luminosa y oxígeno disuelto .....	12
<b>Figura 5.</b> Perfil vertical de la conductividad .....	13
<b>Figura 6.</b> Perfil vertical de la clorofila a.....	16
<b>Figura 7.</b> Fotografía de la presa del embalse.....	28
<b>Figura 8.</b> Fotografía del punto de acceso al embalse .....	28

### ÍNDICE DE TABLAS

<b>Tabla 1.</b> Características morfométricas del embalse de Rialb .....	8
<b>Tabla 2.</b> Estructura y composición de la comunidad de fitoplancton.....	15
<b>Tabla 3.</b> Composición detallada de la comunidad de fitoplancton.....	16
<b>Tabla 4.</b> Estructura y composición de la comunidad de zooplancton.....	19
<b>Tabla 5.</b> Composición detallada de la comunidad de zooplancton.....	20
<b>Tabla 6.</b> Parámetros indicadores y rangos de estado trófico. ....	21
<b>Tabla 7.</b> Diagnóstico del estado trófico del embalse de Rialb.....	21
<b>Tabla 8.</b> Parámetros y rangos para la determinación del potencial ecológico experimental. ....	22
<b>Tabla 9.</b> Combinación de los indicadores.....	23
<b>Tabla 10.</b> Diagnóstico del potencial ecológico del embalse de Rialb.....	23
<b>Tabla 11.</b> Valores de referencia propios del tipo ( $VR_t$ ) y límites de cambio de clase de potencial ecológico de los indicadores de los elementos de calidad de embalses (RD 817/2015). .....	24
<b>Tabla 12.</b> Parámetros, rangos del RCE y valores para la determinación del potencial ecológico normativo. ....	25
<b>Tabla 13.</b> Combinación de los indicadores.....	25
<b>Tabla 14.</b> Diagnóstico del potencial ecológico ( $PE_{norm}$ ) del embalse de Rialb. ....	26



## 1. INTRODUCCIÓN

El presente documento recoge los resultados de los trabajos realizados en el embalse de Rialb durante los muestreos de 2016 y la interpretación de los mismos, a efectos de proporcionar una referencia que facilite la consulta y explotación de la información obtenida.

En general, se recurre a presentaciones gráficas y sintéticas de la información, acompañadas de un texto conciso, lo que permitirá una consulta ágil y rápida del documento.

En el **Anexo I** se presenta un reportaje fotográfico que refleja el estado del embalse durante el periodo estudiado (verano de 2016, correspondiente al año hidrológico 2015-2016).

En apartados sucesivos se comentan los siguientes aspectos:

- Resultados del estudio en el embalse (FASE DE CARACTERIZACIÓN) de todos los aspectos tratados (hidrológicos, fisicoquímicos y biológicos), que culminan en el diagnóstico del grado trófico.
- Clasificación del “Potencial Ecológico experimental”, tras la aplicación de los indicadores biológicos, propuestos en la MEMORIA DEL ESTUDIO, y fisicoquímicos, propuestos en la Directiva Marco del Agua.
- Clasificación del “Potencial Ecológico normativo”, tras la aplicación de los indicadores biológicos y fisicoquímicos propuestos en la Directiva Marco del Agua.

## 2. DESCRIPCIÓN GENERAL DEL EMBALSE Y DE LA CUENCA VERTIENTE

### 2.1. Ámbito geológico y geográfico

El embalse de Rialb se sitúa en una zona topográficamente deprimida conocida como Depresión Intermedia. Está formada por materiales terrígenos del Eoceno (flysch, margas azules y depósitos de transición) y por molasas del Oligoceno y posee una geometría sinclinal en dirección ONO-ESE.

El embalse de Rialb se sitúa dentro del término municipal de Baronia de Rialb, en la provincia de Lleida. Regula las aguas del río Segre.



## 2.2. Características morfométricas e hidrológicas

Se trata de un embalse de grandes dimensiones, de geometría alargada y regular.

La cuenca vertiente al embalse de Rialb tiene una superficie total de 329865,76 ha.

El embalse tiene una capacidad total de 402 hm<sup>3</sup>. Caracterizado por una profundidad media de 28 m, mientras que la profundidad máxima es de 78 m.

En la tabla 1 se presentan las características morfométricas del embalse.

**Tabla 1.** Características morfométricas del embalse de Rialb

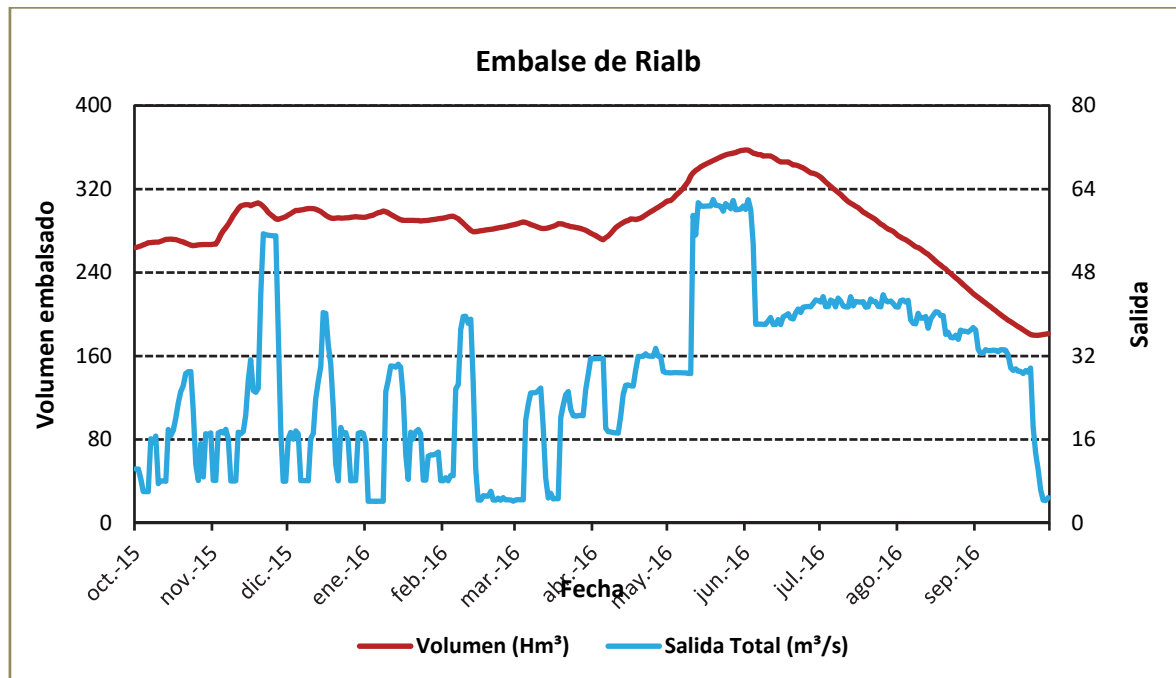
Superficie de la cuenca	3299 km <sup>2</sup>
Capacidad total N.M.N.	402 hm <sup>3</sup>
Capacidad útil	401 hm <sup>3</sup>
Aportación media anual	1108 hm <sup>3</sup>
Superficie inundada	1505 ha
Cota máximo embalse normal	430 msnm

Tipo de clasificación: 11. Monomítico, calcáreo de zonas no húmedas, pertenecientes a ríos de la red principal.

Se trata de un embalse monomítico de geología calcárea, situado en zona no húmeda de la red principal. La termoclina, en el momento del muestreo, se encuentra entre los 5 y 10 metros de profundidad. El límite inferior de la capa fótica se encuentra alrededor de los 9,5 metros de profundidad cuando se determina mediante el medidor fotoeléctrico, mientras que el valor estimado mediante el disco de Secchi fue de 6,9 m.

El tiempo de residencia hidráulica media en el embalse de Rialb para el año hidrológico 2015-2016 fue de 3,97 meses.

En la figura 1 se presentan los valores diarios del volumen embalsado y salida media correspondientes al año hidrológico 2015-2016.



### 2.3. Usos del agua

Los usos de las aguas del embalse son, principalmente: abastecimiento de la población, aprovechamiento hidroeléctrico y regadíos. También el uso recreativo del embalse es significativo, existiendo una zona de pesca libre de ciprínidos, y permitiéndose la navegación (sin restricciones para el remo y con limitaciones para la vela y motor).

### 2.4. Registro de zonas protegidas

El embalse de Rialb forma parte del Registro de Zonas Protegidas elaborado por la Confederación Hidrográfica del Ebro, en contestación al artículo 6 de la Directiva Marco del Agua, en las categorías de zonas de extracción de agua para consumo humano, zonas sensibles a nutrientes bajo el marco de la Directiva 91/271/CEE y zonas de protección de hábitat o especie (Punto Red Natura 2000: ZEPA y LIC ES5130008 “Serra d'Aubenç i Roc de Cogul”).



### 3. TRABAJOS REALIZADOS

Para acometer la caracterización del embalse se ha ubicado una estación de muestreo en las inmediaciones de la presa (ver figura 2). Se ha completado una campaña de muestreo el 28 de Junio de 2016, en la que se midieron *in situ* los parámetros fisicoquímicos y la transparencia en la columna de agua, se tomó una muestra de agua integrada y otras puntuales para los análisis químicos y se realizaron muestreos de fitoplancton y zooplancton.



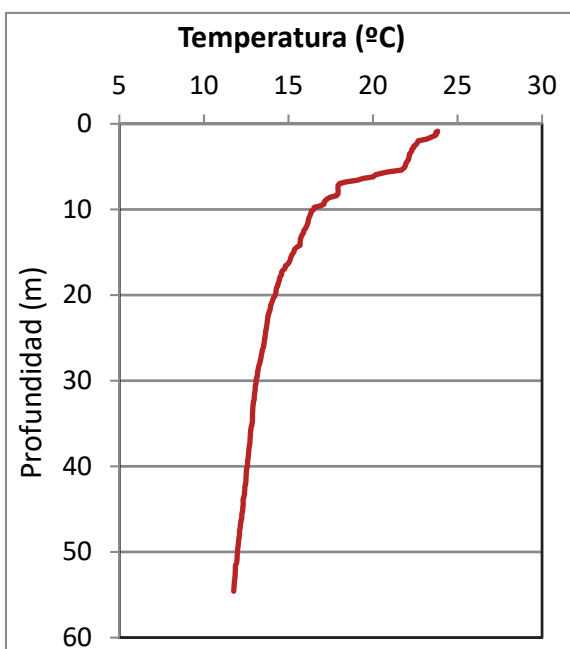
Figura 2. Localización de la estación de muestreo en el embalse.



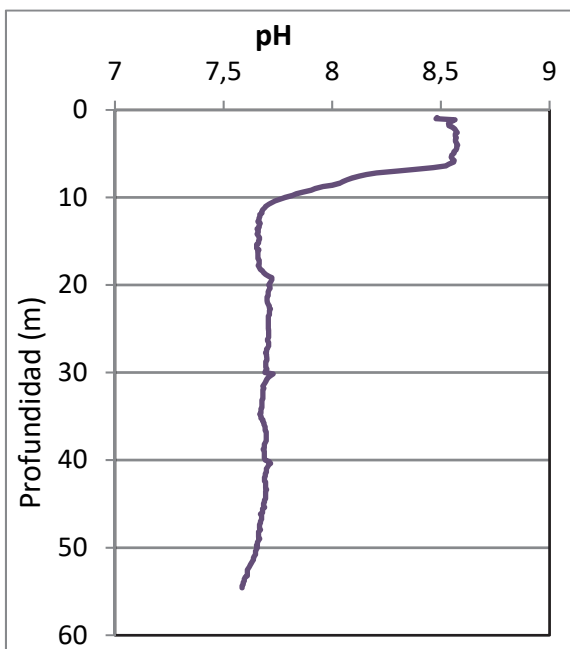
## 4. DIAGNÓSTICO DE LA SITUACIÓN ACTUAL

### 4.1. Características fisicoquímicas de las aguas

De los resultados obtenidos se desprenden las siguientes apreciaciones:

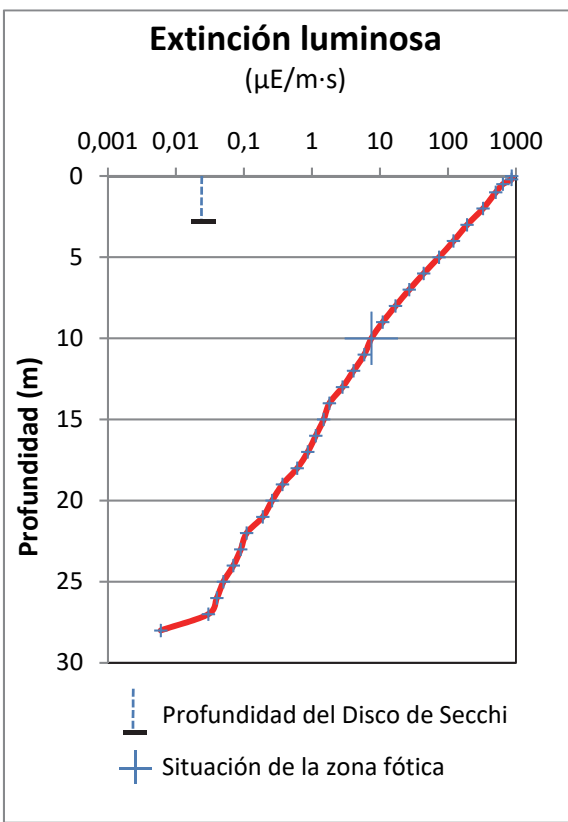


La temperatura del agua oscila entre los 11,77 °C – en el fondo- y los 23,82 °C - máximo registrado en superficie-. En el momento del muestreo (Junio 2016) la termoclina se sitúa entre los 5 y 10 m de profundidad.



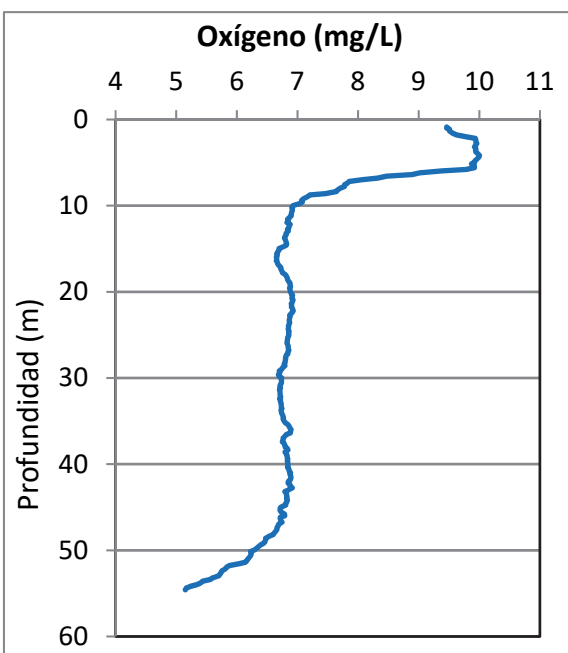
El pH del agua en la superficie es de 8,5, máximo epilimnético estival. En el fondo del embalse el valor del pH es de 7,59.

Figura 3. Perfil vertical de la temperatura y pH.



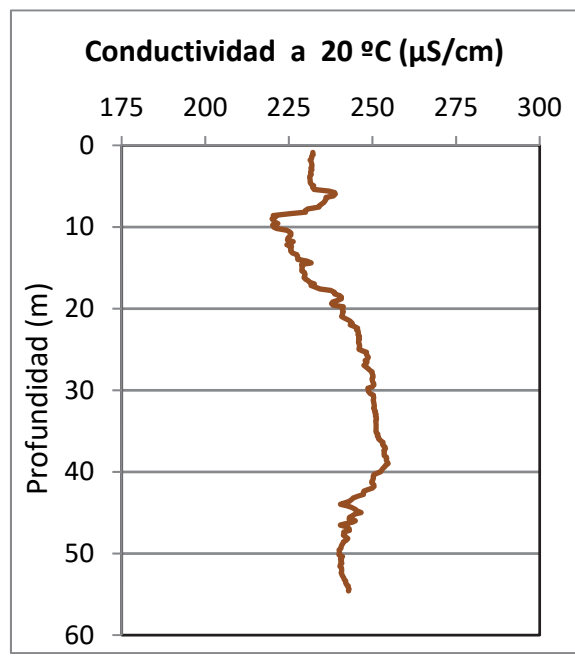
La transparencia del agua registrada en la lectura de disco de Secchi es de 2,8 m, lo que supone una profundidad de la capa fótica de 6,9 metros. Mucho menor que la medición mediante célula fotoeléctrica, que indica una profundidad de la capa fótica de 9,5 m.

La turbidez media de la zona eufótica (muestra integrada de 10 m de profundidad) fue de 2,49 UAF.



Las condiciones de oxigenación de la columna de agua en el epilimnion alcanzan en el muestreo una concentración media de 9,82 mg/L. La concentración media alcanzada en el hipolimnion es de 6,68 mg/L. No se han detectado condiciones anóxicas ( $<2 \text{ mg O}_2/\text{L}$ ).

**Figura 4.** Perfil vertical de la extinción luminosa y oxígeno disuelto.



**Figura 5.** Perfil vertical de la conductividad.

La conductividad del agua es de 232  $\mu\text{S}/\text{cm}$  en la superficie y de 241  $\mu\text{S}/\text{cm}$  en el fondo del embalse. El mínimo de toda la columna se encuentra a 10 m de profundidad con un valor de 220  $\mu\text{S}/\text{cm}$  y el máximo a 39 de profundidad con 256  $\mu\text{S}/\text{cm}$ .



## 4.2. Hidroquímica del embalse

De los resultados analíticos obtenidos en la campaña de 2016 en la muestra integrada, se desprenden las siguientes apreciaciones:

- La concentración de fósforo total (PT) en la muestra integrada (zona fótica) fue de 14,89 µg P/L.
- La concentración de P soluble resultó ser de 0,99 µg P/L.
- La concentración de nitrógeno total (NT) fue de 0,62 mg N/L.
- La concentración de nitrógeno inorgánico oxidado (nitrato + nitrito, NIO) tomó un valor de 0,35 mg N/L.
- La concentración de amonio ( $\text{NH}_4$ ) fue de 0,050 mg  $\text{NH}_4$ /L.
- La concentración de sílice tomó un valor de 2,31 mg  $\text{SiO}_2$ /L.
- La alcalinidad en este embalse (zona fótica) fue de 1,68 meq/L.



#### 4.3. Fitoplancton y concentración de clorofila

En el análisis de fitoplancton se han identificado un total de 29 especies, distribuidas en los siguientes grupos taxonómicos:

BACILLARIOPHYCEAE	3
CHRYSTOPHYCEAE	2
XANTHOPHYCEAE	1
CHLOROPHYTA	10
ZYGNEMATOPHYCEAE	1
CYANOBACTERIA	2
CRYPTOPHYCEAE	5
DINOPHYCEAE	4
EUGLENOPHYCEAE	1

La estructura de la comunidad de fitoplancton se resume en la tabla 2 y la composición detallada en la tabla 3.

**Tabla 2.** Estructura y composición de la comunidad de fitoplancton.

PARÁMETRO	UNIDAD	VALOR
Nº CÉLULAS TOTALES	nº cél./ml	18364
BIOVOLUMEN TOTAL	$\mu\text{m}^3/\text{ml}$	1188358
Diversidad Shannon-Wiener		2,31
CLASE PREDOMINANTE (DENSIDAD)		Chlorophyceae
Nº células/ml		14240
ESPECIE PREDOMINANTE (DENSIDAD)		<i>Coenochloris hindakii</i>
Nº células/ml		8629
CLASE PREDOMINANTE (BIOVOLUMEN)		Chlorophyceae
$\mu\text{m}^3/\text{ml}$		635150
ESPECIE PREDOMINANTE (BIOVOLUMEN)		<i>Coenochloris hindakii</i>
$\mu\text{m}^3/\text{ml}$		289176

La concentración de clorofila fue de 4,53 µg/L en la muestra integrada, cuya profundidad se ha señalado en la figura 6 con una línea roja. El perfil vertical realizado mediante fluorimetría muestra un máximo de 6,6 µg/L en la zona epilimnética, a 5,6 metros de profundidad.

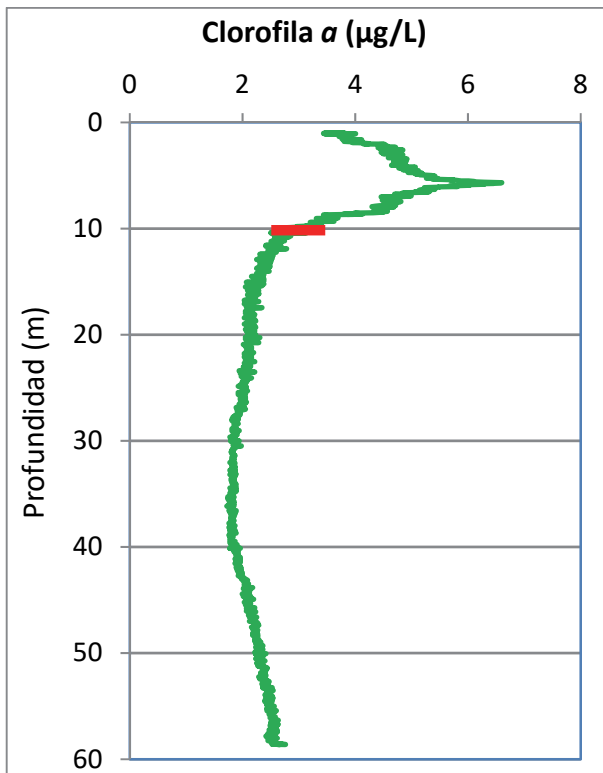


Figura 6. Perfil vertical de la clorofila a.

La composición de la población fitoplanctónica de la muestra integrada de la zona fótica indicando su abundancia y biovolumen, y la densidad cualitativa de la muestra integrada de fitoplancton del muestreo vertical con red de plancton, muestran los resultados de la tabla siguiente:

Tabla 3. Composición detallada de la comunidad de fitoplancton.

COD_EMB_LW	COMPOSICIÓN	ABUNDANCIA	BIOVOLUMEN	CUALITATIVO
				(1 al 5)
<b>BACILLARIOPHYCEAE/CENTRALES/</b>				
AULAGRANO	<i>Aulacoseira granulata</i>	3,61	3750,52	
AULAAMBI0	<i>Aulacoseira ambigua</i>			2
CYCLOCCEL0	<i>Cyclotella ocellata (=Lindavia ocellata)</i>			1
CYCLRADIO0	<i>Cyclotella radiosa (=Lindavia radiosa)</i>	4,05	4362,81	1
STEPNEOA0	<i>Stephanodiscus neoastraea</i>			1
<b>BACILLARIOPHYCEAE /PENNALES/</b>				
ASTEFORM0	<i>Asterionella formosa</i>			2
FRAGCROT0	<i>Fragilaria crotonensis</i>	35,09	25544,99	3



COD_EMB_LW	COMPOSICIÓN	ABUNDANCIA	BIOVOLUMEN	CUALITATIVO
				cél./ml      µm³/ml      (1 al 5)
GOMPTRUN0	<i>Gomphonema truncatum</i>			1
NITZRECT0	<i>Nitzschia recta</i>			1
	<b>CHRYSOPHYCEAE</b>			
CHRYOGEN0	<i>Chrysochromulina</i> sp.	587,94	18814,13	
DINODIVE0	<i>Dinobryon divergens</i>			1
STOKEPIPO0	<i>Stokesiella epiipyxis</i>	58,03	1944,68	
	<b>XANTHOPHYCEAE</b>			
TRACSEXA0	<i>Trachydiscus sexangulatus</i>	18,97	5630,59	
	<b>CHLOROPHYTA</b>			
COENHIND0	<i>Coenochloris hindakii</i>	8629,46	289176,13	2
CHLAMGEN0	<i>Chlamydomonas</i> sp.	132,76	50675,34	1
CHORCHOD0	<i>Choricystis chodatii</i>	872,43	28778,59	
DIDYBICE0	<i>Didymocystis bicellularis</i>	4362,15	255809,65	
DIDYCOMA0	<i>Didymocystis comasii</i>			1
ELAKGELA0	<i>Elakatothrix gelatinosa</i>	94,83	4021,85	1
COELPOLY0	<i>Hariotina polychorda</i> (= <i>Coelastrum polychordum</i> )			2
MONODYBO0	<i>Monoraphidium dybowskii</i>	37,93	983,12	
OOCYLACU0	<i>Oocystis lacustris</i>	5,40	316,58	1
PEDSIECH2	<i>Pediastrum simplex</i> var. <i>echinulatum</i>			1
SCENLINE0	<i>Scenedesmus ellipticus</i> (= <i>Scenedesmus linearis</i> )	48,59	4070,26	
SCHRSETI0	<i>Schroederia setigera</i>	18,97	1216,49	
SPHAPLAN0	<i>Sphaerocystis plantonica</i>			4
TETRMINI0	<i>Tetraedron minimum</i>	1,64	102,54	
	<b>ZYGONEMATOPHYCEAE</b>			
CLOSACICO0	<i>Closterium aciculare</i>			1
STAUPARA0	<i>Staurastrum paradoxum</i>			2
STAUPING0	<i>Staurastrum pingue</i>	2,63	15669,05	
	<b>CYANOBACTERIA</b>			
APHAGRAC0	<i>Aphanizomenon gracile</i>	1701,04	200399,35	3
MERIWARM0	<i>Merismopedia warmingiana</i>	1446,76	757,52	
	<b>CRYPTOPHYCEAE</b>			
CRYPEROS0	<i>Cryptomonas erosa</i>	47,24	112905,95	
CRYPMARS0	<i>Cryptomonas marsonii</i>	5,40	3075,31	
CRYPOVAT0	<i>Cryptomonas ovata</i>	9,45	13167,57	
PLAGLACU0	<i>Plagioselmis</i> (= <i>Rhodomonas</i> ) <i>lacustris</i>	189,66	14481,98	
PLAGNANN0	<i>Plagioselmis nannoplantica</i> (= <i>Rhodomonas lacustris</i> var. <i>nannoplantica</i> )	37,93	1482,95	
	<b>DINOPHYCEAE</b>			
CERAFURC0	<i>Ceratium furcoides</i>	0,66	28219,39	
CERAHIRU0	<i>Ceratium hirundinella</i>	1,31	57410,05	1
PERIELPA0	<i>Peridiniopsis elpatiewskyi</i>	1,31	15765,26	



COD_EMB_LW	COMPOSICIÓN	ABUNDANCIA	BIOVOLUMEN	CUALITATIVO
				(1 al 5)
PERIELPA0	<i>Peridiniopsis elpatiewskyi</i>			1
PERIPENR0	<i>Peridiniopsis penardiforme</i>			1
PERIWILL0	<i>Peridinium willei</i>			1
WOLOCOR00	<i>Woloszynskia coronata</i>	8,10	28831,01	1
	<b>EUGLENOPHYCEAE</b>			
EUGLEGEN0	<i>Euglena</i> sp.	1,35	994,95	1
	<b>TOTALES BACILLARIOPHYCEAE</b>	<b>42,75</b>	<b>33658,32</b>	
	<b>TOTALES CHRYSTOPHYCEAE</b>	<b>645,97</b>	<b>20758,81</b>	
	<b>TOTALES XANTHOPHYCEAE</b>	<b>18,97</b>	<b>5630,59</b>	
	<b>TOTALES CHLOROPHYTA</b>	<b>14204,15</b>	<b>635150,54</b>	
	<b>TOTALES ZYGNEMATOPHYCEAE</b>	<b>2,63</b>	<b>15669,05</b>	
	<b>TOTALES CYANOBACTERIA</b>	<b>3147,80</b>	<b>201156,87</b>	
	<b>TOTALES CRYPTOPHYCEAE</b>	<b>289,67</b>	<b>145113,77</b>	
	<b>TOTALES DINOPHYCEAE</b>	<b>11,38</b>	<b>130225,72</b>	
	<b>TOTALES EUGLENOPHYCEAE</b>	<b>1,35</b>	<b>994,95</b>	
	<b>TOTALES ALGAS</b>	<b>18364,66</b>	<b>1188358,62</b>	

Nota: Entre paréntesis se cita el anterior nombre de la especie.

Clases de abundancia	% de presencia
1	<9
2	10-24
3	25-60
4	61-99
5	>99



#### 4.4. Zooplancton

En el análisis de zooplancton de las muestras del embalse de Rialb se han identificado un total de 15 especies, distribuidas en los siguientes grupos taxonómicos:

- 4 Cladocera
- 4 Copepoda
- 7 Rotifera

La estructura y composición de la comunidad de zooplancton se resume en la tabla 4:

**Tabla 4.** Estructura y composición de la comunidad de zooplancton.

PARÁMETRO	UNIDAD	VALOR
PROFUNDIDAD	m	8,0
DENSIDAD TOTAL	individuos/L	507,12
BIOMASA TOTAL	µg/L	443,89
Diversidad Shannon-Wiener		3,23
CLASE PREDOMINANTE (DENSIDAD)		Rotíferos
individuos/L		200,96
ESPECIE PREDOMINANTE (DENSIDAD)		Ciclópido
individuos/L		112,31
CLASE PREDOMINANTE (BIOMASA)		Cladóceros
µg/L		132,31
ESPECIE PREDOMINANTE (BIOMASA)		<i>Daphnia cucullata</i>
µg/L		161,54
COLUMNAS AGUA INTEGRADA (red vertical)		0 - 30 m
CLADÓCEROS: 13,57 %	COPÉPODOS: 33,53 %	ROTÍFEROS: 52,91 %



La composición detallada de la población zooplanctónica presente en la muestra cuantitativa de zooplancton indicando la densidad y biomasa, y el porcentaje de las especies presentes en la muestra integrada de la red vertical, se muestran en la tabla 5:

**Tabla 5.** Composición detallada de la comunidad de zooplancton.

CÓDIGO	COMPOSICIÓN	ABUNDANCIA	BIOMASA	PORCENTAJE
TAXÓN	ZOOPLANCTON	Ind./L	mg/L	%
	<b>CLADÓCEROS</b>			
BOSMLONG0	<i>Bosmina longirostris</i>	23,08	30,00	0,87
CERIPULC0	<i>Ceriodaphnia pulchella</i>	70,77	84,92	6,99
DAPHCUCU0	<i>Daphnia cucullata</i>	53,85	161,54	5,68
DIAPMONG0	<i>Diaphanosoma mongolianum</i>	1,54	3,85	0,01
	<b>COPÉPODOS</b>			
ACANAMER0	<i>Acanthocyclops americanus</i>	2,69	7,66	0,44
CYCLVICI0	<i>Cyclops vicinus</i>	0,19	1,00	0,15
EUDIVULG0	<i>Eudiaptomus vulgaris</i>	41,73	91,73	3,66
CYCLOPFAM	Ciclopido	112,31	25,15	29,29
	<b>ROTÍFEROS</b>			
ASPLPRI00	<i>Asplanchna priodonta</i>	30,77	23,08	3,50
CONONATA0	<i>Conochilus natans</i>	58,46	5,85	3,06
KERACOCH0	<i>Keratella cochlearis</i>	15,38	0,77	5,25
POLYMAJ00	<i>Polyarthra major</i>	33,27	4,33	33,22
SYNCKITI0	<i>Synchaeta kitina</i>	58,46	2,92	6,12
SYNCLONG0	<i>Synchaeta longipes</i>	3,08	1,02	0,01
SYNCOBLO0	<i>Synchaeta oblonga</i>	1,54	0,08	1,75
	<b>Total Cladóceros</b>	<b>149,23</b>	<b>280,31</b>	<b>13,57</b>
	<b>Total Copépodos</b>	<b>156,92</b>	<b>125,54</b>	<b>33,53</b>
	<b>Total Rotíferos</b>	<b>200,96</b>	<b>38,04</b>	<b>52,91</b>
	<b>Total</b>	<b>507,12</b>	<b>443,89</b>	<b>100</b>



## 5. DIAGNÓSTICO DEL GRADO TRÓFICO

Se han considerado los indicadores especificados en la tabla 6, estableciéndose el estado trófico global del embalse según la metodología descrita en la sección 5 de la MEMORIA DEL ESTUDIO.

**Tabla 6.** Parámetros indicadores y rangos de estado trófico.

Parámetros   Estado Trófico	Ultraoligotrófico	Oligotrófico	Mesotrófico	Eutrófico	Hipereutrófico
Concentración P ( $\mu\text{g P/L}$ )	0-4	4-10	10-35	35-100	>100
Disco de Secchi (m)	>6	6-3	3-1,5	1,5-0,7	<0,7
Clorofila a ( $\mu\text{g/L}$ ) epilimnion	0-1	1-2,5	2,5-8	8,0-25	>25
Densidad algal (cel./ml)	<100	100-1000	1000-10000	10000-100000	>100000
<b>VALOR PROMEDIO FINAL</b>	<b>&lt; 1,8</b>	<b>1,8 – 2,6</b>	<b>2,6 – 3,4</b>	<b>3,4 – 4,2</b>	<b>&gt; 4,2</b>

En la tabla 7 se incluye el estado trófico indicado por cada uno de los parámetros, así como la catalogación de la masa de agua según la valoración de este estado trófico final.

**Tabla 7.** Diagnóstico del estado trófico del embalse de Rialb.

INDICADOR	VALOR	ESTADO TRÓFICO
P TOTAL	14,89	Mesotrófico
CLOROFILA a	4,53	Mesotrófico
DISCO SECCHI (DS)	2,75	Mesotrófico
DENSIDAD ALGAL	18365	Eutrófico
<b>ESTADO TRÓFICO FINAL</b>	<b>3,25</b>	<b>MESOTRÓFICO</b>

Atendiendo a tres de los cuatro criterios seleccionados, (fósforo total (PT), concentración de clorofila a y transparencia (DS)) clasifican el embalse como mesotrófico. Mientras que la densidad algal lo hace como eutrófico. Combinando todos los indicadores el estado trófico final para el embalse de RIALB ha resultado ser **MESOTRÓFICO**.



## 6. DIAGNÓSTICO DEL POTENCIAL ECOLÓGICO

### a) Aproximación experimental (*PEexp*)

Se han considerado los indicadores especificados en la tabla 8, estableciéndose el potencial ecológico del embalse según la metodología descrita en la sección 6.3, apartado a) de la MEMORIA DEL ESTUDIO.

**Tabla 8.** Parámetros y rangos para la determinación del potencial ecológico experimental.

Indicador	Elementos	Parámetros	Bueno o superior	Moderado	Deficiente	Malo	
Biológico	Fitoplancton	Densidad algal (cel/ml)	< 10 <sup>3</sup>	10 <sup>3</sup> -10 <sup>4</sup>	10 <sup>4</sup> -10 <sup>5</sup>	>10 <sup>5</sup>	
		Biomasa algal, Clorofila a (µg/L)	< 2,5	2,5-8	8,0-25	>25	
		Biovolumen algal (mm <sup>3</sup> /L)	< 0,5	0,5-2	2-8	>8	
		<i>Phytoplankton Assemblage Index (Q)</i>	> 3	2-3	1-2	<1	
		<i>Trophic Index (TI)</i>	< 2,79	2,79-3,52	3,52-4,25	>4,25	
		<i>Phytoplankton Trophic Index (PTI)</i>	> 3,4	2,6-3,4	1,8-2,6	<1,8	
		<i>Phytoplankton Reservoir Trophic Index (PRTI)</i>	< 6,6	6,6-9,4	9,4-12,2	>12,2	
	Zooplancton	<i>Zooplankton Reservoir Trophic Index (ZRTI)</i>	< 6,6	6,6-9,4	9,4-12,2	>12,2	
<b>INDICADOR BIOLÓGICO (1)</b>			< 2,6	2,6 - 3,4	3,4 – 4,2	> 4,2	
Indicador	Elementos	Parámetros	Muy bueno	Bueno	Moderado	Deficiente	Malo
Fisicoquímico	Transparencia	Disco de Secchi (m)	>6	3-6	1, 5 -3	0, 7 -1,5	<0, 7
	Oxigenación	Concentración O <sub>2</sub> (mg O <sub>2</sub> /L)	>8	8-6	6-4	4-2	<2
	Nutrientes	Concentración de PT (µg P/L)	0-4	4-10	10-35	35-100	>100
<b>INDICADOR FISICOQUÍMICO (2)</b>			Muy bueno	Bueno	<b>Moderado</b>		
			< 1,6	1,6 – 2,4	> 2,4		

(1) La valoración del indicador biológico se obtiene asignando la calificación del elemento de menor puntuación (fitoplancton o zooplancton) o peor calidad, según la metodología *one out, all out*.

(2) La valoración del indicador fisicoquímico se obtiene asignando la calificación del elemento de menor puntuación o peor calidad, según la metodología *one out, all out*.



La combinación de los dos indicadores, fisicoquímico y biológico, para la obtención del potencial ecológico experimental final sigue el esquema de decisiones indicado en la tabla 9:

**Tabla 9.** Combinación de los indicadores.

Indicador Biológico	Indicador Fisicoquímico	Potencial Ecológico Experimental
Bueno o superior	Muy bueno	Bueno o superior
Bueno o superior	Bueno	Bueno o superior
Bueno o superior	Moderado	Moderado
Moderado	Indistinto	Moderado
Deficiente	Indistinto	Deficiente
Malo	Indistinto	Malo

En la tabla 10 se incluye el potencial indicado por cada uno de los parámetros e indicadores, así como la catalogación de la masa de agua según el potencial ecológico final.

**Tabla 10.** Diagnóstico del potencial ecológico del embalse de Rialb.

Indicador	Elementos	Parámetros	Valor	Potencial
Biológico	Fitoplancton	Densidad algal (cel./ml)	18365	Deficiente
		Clorofila a ( $\mu\text{g}/\text{L}$ )	4,53	Moderado
		Biovolumen algal ( $\text{mm}^3/\text{L}$ )	1,19	Moderado
		<i>Phytoplankton Assemblage Index (Q)</i>	3,61	Bueno o superior
		<i>Phytoplankton Trophic Index (PTI)</i>	3,28	Bueno o superior
		<i>Trophic Index (TI)</i>	2,87	Bueno o superior
		<i>Phytoplankton Reservoir Trophic Index (PRTI)</i>	8,72	Moderado
	Zooplancton	<i>Zooplankton Reservoir Trophic Index (ZRTI)</i>	7,74	Moderado
<b>INDICADOR BIOLÓGICO</b>			<b>3,0</b>	<b>MODERADO</b>
Fisicoquímico	Transparencia	Disco de Secchi (m)	2,75	Moderado
	Oxigenación	$\text{O}_2$ hipolimnética ( $\text{mg O}_2/\text{L}$ )	6,68	Bueno
	Nutrientes	Concentración de PT ( $\mu\text{g P/L}$ )	14,89	Moderado
<b>INDICADOR FISICOQUÍMICO</b>			<b>3,0</b>	<b>MODERADO</b>
<b>POTENCIAL ECOLÓGICO PEexp</b>			<b>MODERADO</b>	



## b) Aproximación normativa (*PEnorm*)

Se han considerado los indicadores, los valores de referencia y los límites de clase B<sup>+/M</sup> (Bueno o superior/Moderado), M/D (Moderado/Deficiente) y D/M (Deficiente/Malo), así como sus ratios de calidad ecológica (RCE), especificados en las tablas 11 y 12, estableciéndose el potencial ecológico del embalse según la metodología descrita en la sección 6.3, apartado b) de la MEMORIA DEL ESTUDIO.

**Tabla 11.** Valores de referencia propios del tipo (VR<sub>t</sub>) y límites de cambio de clase de potencial ecológico de los indicadores de los elementos de calidad de embalses (RD 817/2015).

Tipo	Elemento	Parámetro	Indicador	VR <sub>t</sub>	B <sup>+/M</sup> (RCE)	M/D (RCE)	D/M (RCE)
Tipo 1	Fitoplancton	Biomasa	Clorofila a mg/m <sup>3</sup>	2,00	0,211	0,14	0,07
			Biovolumen mm <sup>3</sup> /L	0,36	0,189	0,126	0,063
		Composición	Índice de Catalán (IGA)	0,10	0,974	0,649	0,325
			Porcentaje de cianobacterias	0,00	0,908	0,607	0,303
Tipo 7	Fitoplancton	Biomasa	Clorofila a mg/m <sup>3</sup>	2,60	0,433	0,287	0,143
			Biovolumen mm <sup>3</sup> /L	0,76	0,362	0,24	0,12
		Composición	Índice de Catalán (IGA)	0,61	0,982	0,655	0,327
			Porcentaje de cianobacterias	0,00	0,715	0,48	0,24
Tipo 9	Fitoplancton	Biomasa	Clorofila a mg/m <sup>3</sup>	2,60	0,433	0,287	0,143
			Biovolumen mm <sup>3</sup> /L	0,76	0,362	0,24	0,12
		Composición	Índice de Catalán (IGA)	0,61	0,982	0,655	0,327
			Porcentaje de cianobacterias	0,00	0,715	0,48	0,24
Tipo 10	Fitoplancton	Biomasa	Clorofila a mg/m <sup>3</sup>	2,60	0,433	0,287	0,143
			Biovolumen mm <sup>3</sup> /L	0,76	0,362	0,24	0,12
		Composición	Índice de Catalán (IGA)	0,61	0,982	0,655	0,327
			Porcentaje de cianobacterias	0,00	0,715	0,48	0,24
Tipo 11	Fitoplancton	Biomasa	Clorofila a mg/m <sup>3</sup>	2,60	0,433	0,287	0,143
			Biovolumen mm <sup>3</sup> /L	0,76	0,362	0,24	0,12
		Composición	Índice de Catalán (IGA)	0,61	0,982	0,655	0,327
			Porcentaje de cianobacterias	0,00	0,715	0,48	0,24
Tipo 12	Fitoplancton	Biomasa	Clorofila a mg/m <sup>3</sup>	2,40	0,195	0,13	0,065
			Biovolumen mm <sup>3</sup> /L	0,63	0,175	0,117	0,058
		Composición	Índice de Catalán (IGA)	1,50	0,929	0,619	0,31
			Porcentaje de cianobacterias	0,10	0,686	0,457	0,229
Tipo 13	Fitoplancton	Biomasa	Clorofila a mg/m <sup>3</sup>	2,10	0,304	0,203	0,101
			Biovolumen mm <sup>3</sup> /L	0,43	0,261	0,174	0,087
		Composición	Índice de Catalán (IGA)	1,10	0,979	0,653	0,326
			Porcentaje de cianobacterias	0,00	0,931	0,621	0,31



**Tabla 12.** Parámetros, rangos del RCE y valores para la determinación del potencial ecológico normativo.

Indicador	Elementos	Parámetros	RANGOS DEL RCE				
			Bueno o superior	Moderado	Deficiente	Malo	
Biológico	Fitoplancton	Clorofila a ( $\mu\text{g/L}$ )	$\geq 0,433$	0,432 – 0,287	0,286 – 0,143	< 0,143	
		Biovolumen algal ( $\text{mm}^3/\text{L}$ )	$\geq 0,362$	0,361 – 0,24	0,23 – 0,12	< 0,12	
		Índice de Catalán (IGA)	$\geq 0,982$	0,981 – 0,655	0,654 – 0,327	< 0,327	
		Porcentaje de cianobacterias	$\geq 0,715$	0,714 – 0,48	0,47 – 0,24	< 0,24	
			Bueno o superior	Moderado	Deficiente	Malo	
<b>INDICADOR BIOLÓGICO</b>			> 0,6	0,4-0,6	0,2-0,4	< 0,2	
			RANGOS DE VALORES				
Indicador	Elementos	Parámetros	Muy bueno	Bueno	Moderado	Deficiente	
Fisicoquímico	Transparencia	Disco de Secchi (m)	>6	3-6	1, 5 -3	0, 7 -1,5	
	Oxigenación	O <sub>2</sub> hipolimnética (mg O <sub>2</sub> /L)	>8	8-6	6-4	4-2	
	Nutrientes	Concentración de PT ( $\mu\text{g P/L}$ )	0-4	4-10	10-35	35-100	
			Muy bueno	Bueno	Moderado		
<b>INDICADOR FISICOQUÍMICO</b>			< 1,6	1,6 – 2,4	> 2,4		

La combinación de los dos indicadores, fisicoquímico y biológico, para la obtención del potencial ecológico normativo final sigue el esquema de decisiones indicado en la tabla 13:

**Tabla 13.** Combinación de los indicadores.

Indicador Biológico	Indicador Fisicoquímico	Potencial Ecológico Experimental
Bueno o superior	Muy bueno	Bueno o superior
Bueno o superior	Bueno	Bueno o superior
Bueno o superior	Moderado	Moderado
Moderado	Indistinto	Moderado
Deficiente	Indistinto	Deficiente
Malo	Indistinto	Malo

En la tabla 14 se incluye el potencial indicado por cada uno de los parámetros, así como la catalogación de la masa de agua según el potencial ecológico final (*PEnorm*) tras pasar el filtro del indicador fisicoquímico.



**Tabla 14.** Diagnóstico del potencial ecológico (*PEnorm*) del embalse de Rialb.

Indicador	Elementos	Parámetro	Indicador	Valor	RCE	RCET	<i>PEnorm</i>
Biológico	Fitoplancton	Biomasa	Clorofila a ( $\mu\text{g/L}$ )	4,53	0,57	0,70	Bueno o superior
			Biovolumen algal ( $\text{mm}^3/\text{L}$ )	1,19	0,64	0,77	Bueno o superior
			<b>Media</b>			<b>0,74</b>	
		Composición	<i>Índice de Catalán (IGA)</i>	5,11	0,989	0,75	Moderado
			<i>Porcentaje de cianobacterias</i>	16,86	0,83	0,76	Bueno o superior
			<b>Media</b>			<b>0,75</b>	
		<b>Media global</b>				<b>0,75</b>	
<b>INDICADOR BIOLÓGICO</b>						<b>0,75</b>	<b>BUENO o SUPERIOR</b>
Indicador	Elementos	Indicador	Valor				<i>PEnorm</i>
Fisicoquímico	Transparencia	Disco de Secchi (m)	2,75				Moderado
	Oxigenación	$\text{O}_2$ hipolimnética (mg $\text{O}_2/\text{L}$ )	6,68				Bueno
	Nutrientes	Concentración de PT ( $\mu\text{g P/L}$ )	14,89				Moderado
<b>INDICADOR FISICOQUÍMICO</b>						<b>3,0</b>	<b>MODERADO</b>
<b>POTENCIAL ECOLÓGICO <i>PEnorm</i></b>							<b>MODERADO</b>



## ANEXO I. REPORTAJE FOTOGRÁFICO

---



**Figura 7.** Vista de la presa del embalse



**Figura 8.** Vista del punto de acceso